

Quantenalgorithmen

Alexander May

28. Oktober 2013

Literatur

Mika Hirvensalo Quantum Computing

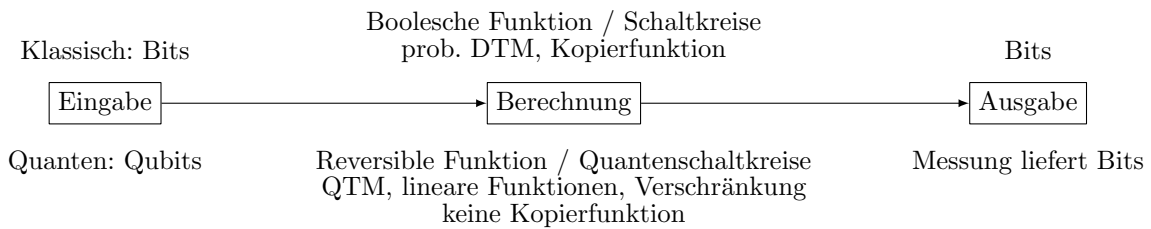
Chuang/Nielsen Quantum Computation and Quantum Information

D. Aharonov Quantum Computation

1 Warum Quantenalgorithmen

1. Notwendigkeit: Moores Gesetz
Bald Rechnerstruktur subatomarer Größe (Quantenphysik)
2. Potential: Quantencomputer können klassische Computer simulieren + evt. mehr
 - Polyzeit-Alg für Faktorisierung/Dlog
 - Exp. Speed-up für relativierte Modelle
 - Quadratischer Speed-up für Datenbanksuche
 - Quantenkryptographie/-kodierung

2 Berechnungen



Probleme bei Implementierung:

- Dekohärenz, Skalierbarkeit
- Quantenfehlerkorrektur

Klassische, probalistische Systeme: Seien x_1, \dots, x_n Basiszustände

Wahrscheinlichkeitsverteilung eines Zustandsraum :

$$p_1[x_1] + p_2[x_2] + \dots + p_n[x_n] \text{ mit } 0 \leq p_i \leq 1, \sum_{i=1}^n p_i = 1$$

Zustandsübergang :

$$x_i \mapsto p_{1i}[x_1] + p_{2i}[x_2] + \dots + p_{ni}[x_n], \sum_{j=1}^n p_{ij} = 1 \forall i \text{ (Markovkette)}$$

Allgemein :

$$p_1[x_1] + p_2[x_2] + \dots + p_n[x_n] \mapsto p_1(p_{11}[x_1] + \dots + p_{n1}[x_n]) = (p_1p_{11} + p_2p_{21} + \dots + p_np_{1n})[x_1] + \dots + (p_np_{n1} + \dots + p_np_{nn})[x_n]$$

Markov-Matrix :

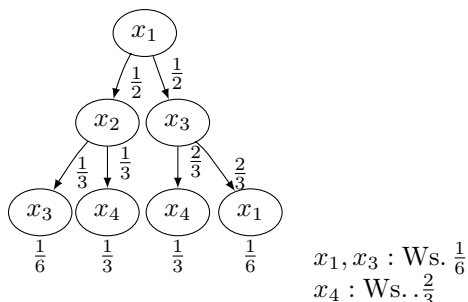
$$\begin{pmatrix} p'_1 \\ \vdots \\ p'_n \end{pmatrix} = \begin{pmatrix} p_{11} & \dots & p_{1n} \\ \vdots & \ddots & \vdots \\ p_{n1} & \dots & p_{nn} \end{pmatrix} \cdot \begin{pmatrix} p_1 \\ \vdots \\ p_n \end{pmatrix}$$

Übung: Zeigen Sie, dass $\sum_{i=1}^n p'_i = \sum_{i=1}^n p_i$.

Beispiel: 1. Münzwurf:

$$\begin{aligned} \text{Kopf} &\mapsto \frac{1}{2}[\text{Kopf}] + \frac{1}{2}[\text{Zahl}] \\ \text{Zahl} &\mapsto \frac{1}{2}[\text{Kopf}] + \frac{1}{2}[\text{Zahl}] \end{aligned}$$

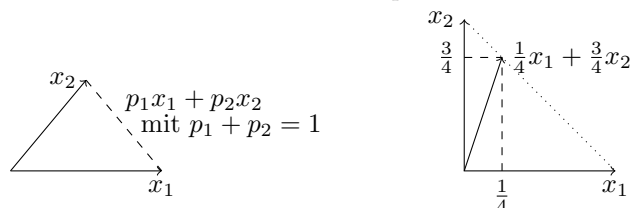
2.



Strategie: Maximiere Ws. des gewünschten Endzustands

Vektorraum Interpretation: • x_1, x_2, \dots, x_n Basisvektoren eines n-dim. Vektorraums

- Wahrscheinlichkeitsverteilungen entsprechen Linearkombinationen



3 1-Qbit Systeme

Zustände eines Qbits: Einheitsvektoren im \mathbb{C}^2

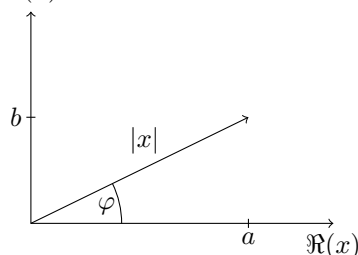
Exkurs über die komplexen Vektorräume \mathbb{C}^n :

Komplexe Zahl :

$|x\rangle \in \mathbb{C}^n \Leftrightarrow |x\rangle = (x_1, \dots, x_n)^T, x_i \in \mathbb{C}$ "ket"-Notation.

$x = a + ib, a, b \in \mathbb{R}, i = \sqrt{-1}$ d.h. $i^2 = -1$

$\Im(x)$



Konjugiert Komplexes: $x^* = a - ib$

$|x| = \sqrt{x \cdot x^*} = \sqrt{a^2 + b^2}$

$\sin \varphi = \frac{b}{|x|}, \cos \varphi = \frac{a}{|x|} \Rightarrow x = (\cos \varphi + i \sin \varphi) \cdot |x| = e^{i\varphi} \cdot |x|$, insb. $e^{2\pi i} = 1$.

Sei $|x\rangle = (x_1, \dots, x_n), \langle x| = (x_1^*, \dots, x_n^*)$ und $|x\rangle, |y\rangle$ orthogonal $\Leftrightarrow \langle x|y\rangle = 0$

Satz: Die Vektoren $|x_1\rangle, |x_2\rangle, \dots, |x_n\rangle \in \mathbb{C}^n$ bilden eine orthonormale Basis des \mathbb{C}^n falls:

1. $\langle x_i|x_j\rangle = 0 \forall i, j$ mit $i \neq j$
2. $\| |x_i\rangle \| = 1 \forall x_i$

Beispiel: Orthonormale Basen für \mathbb{C}^2

- $|0\rangle = (1, 0)^T, |1\rangle = (0, 1)^T$
- $(e^{i\varphi}, 0), (0, e^{i\varphi})$
- $\sqrt{\frac{1}{5}}(1, 2), \sqrt{\frac{1}{5}}(2, -1)$

Beispiel: Orthonormale Basen für \mathbb{C}^4

- $|0\rangle = (1, 0, 0, 0)^T, |1\rangle = (0, 1, 0, 0)^T, |2\rangle = (0, 0, 1, 0)^T, |3\rangle = (0, 0, 0, 1)^T$
- $\frac{1}{5}(1, 2, 2, 4)^T, \frac{1}{5}(2, -1, 4, -2)^T, \frac{1}{5}(2, 4, -1, -2)^T, \frac{1}{5}(4, -2, -2, 1)^T$

Zustand eines Qbits: Seien $|0\rangle, |1\rangle$ eine orthonormale Basis des \mathbb{C}^2 . Der Zustand eines Qbits ist ein Einheitsvektor der Form: $\alpha_0|0\rangle + \alpha_1|1\rangle, \alpha_0, \alpha_1 \in \mathbb{C}$

Übung: $|\alpha_0|0\rangle + \alpha_1|1\rangle = 1 \Leftrightarrow |\alpha_0|^2 + |\alpha_1|^2 = 1$

Allgemein: Seien $|x_1\rangle, \dots, |x_n\rangle$ eine orthonormale Basis des \mathbb{C}^n (auch H_n für Hilbertraum).
 Zustand eines Quantensystems: $\alpha_1|x_1\rangle + \alpha_2|x_2\rangle + \dots + \alpha_n|x_n\rangle$ mit $|\alpha_1|^2 + \dots + |\alpha_n|^2 = 1$
 Messung: x_i mit $WS|\alpha_i|^2$

Bezeichnung: • Basisvektoren $|x_i\rangle$ werden Basiszustände genannt.

- α_i heißen Amplituden
- Allg. Zustand ist Superposition der Basiszustände (Überlagerung)
- $\psi(x_i) = \alpha_i$ heist Wellenfunktion.
- $|x\rangle = e^{i\varphi}|y\rangle \Leftrightarrow$ Zustände $|x\rangle$ und $|y\rangle$ heißen äquivalent

Vergleich : Wahrscheinlichkeitsverteilung $P_1[x_1] + \dots + p_n[x_n] \sum_{i=1}^n p_i = 1$

Superposition $\alpha_1|x_1\rangle + \dots + \alpha_n|x_n\rangle \sum_{i=1}^n |\alpha_i|^2 = 1$, d.h. $|\alpha_i|^2$ WS -Verteilung. Trotzdem fundamental verschieden!

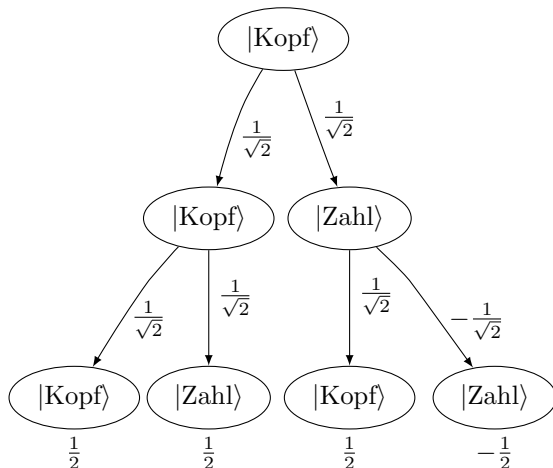
Beispiel: Quanten-Münzwurf:

$$|Kopf\rangle \mapsto \frac{1}{\sqrt{2}}|Kopf\rangle + \frac{1}{\sqrt{2}}|Zahl\rangle$$

$$|Zahl\rangle \mapsto \frac{1}{\sqrt{2}}|Kopf\rangle - \frac{1}{\sqrt{2}}|Zahl\rangle$$

Einfacher Münzwurf liefert Kopf oder Zahl mit WS jeweils $\frac{1}{2}$

Zweifacher Münzwurf:



- Amplituden von $|Kopf\rangle$ summieren sich zu 1 \rightarrow positive Interferenz
- Amplituden von $|Zahl\rangle$ summieren sich zu 0 \rightarrow negative Interferenz

Strategie: Statt die $Ws.$ unerwünschter Konfiguration klein zu halten, kann man auch deren Amplituden gegenseitig auslöschen.

Man beachte: Superposition $\alpha_1|x_1\rangle + \dots + \alpha_n|x_n\rangle$ liefert x_i mit $WS|\alpha_i|^2$

Wechsel zu anderer orthonormaler Basis $|x'_1\rangle, \dots, |x'_n\rangle$ mit $|x'_1\rangle = \alpha_1|x_1\rangle + \dots + \alpha_n|x_n\rangle$ liefert x'_1 mit $WS1$.

3.1 Zustandsübergänge

Da Quantenzustände stets Einheitsvektoren sind: längenerhaltene Abbildung

Aus den Gesetzen der Quantenphysik: lineare Abbildung, reversibel

Definition (unitäre Abb.): eine lineare Abb. $U : \mathbb{C}^n \rightarrow \mathbb{C}^n$ heißt unitär, falls für alle $|x\rangle \in \mathbb{C}^n$ gilt:

$$||x\rangle| = \sqrt{\langle x|x\rangle} = \sqrt{\langle U|x\rangle|U|x\rangle} = |U|x\rangle|$$

Eine Matrix heißt unitär falls $(U^*)^T = U^{-1}$

Satz: Sei $U \in \mathbb{C}^{m \times m}$ eine unitäre Matrix. Dann gilt für alle $|x\rangle \in \mathbb{C}^m : |U|x\rangle| = ||x\rangle|$. D.h. U beschreibt eine unitäre Abbildung.

Beweis: Lineare Algebra: Für jedes $A \in \mathbb{C}^{m \times m}$, $|x\rangle, |y\rangle \in \mathbb{C}^m$ gilt: $\langle x|A|y\rangle = \langle (A^*)^T|x\rangle||y\rangle$
 $\Rightarrow |U|x\rangle| = \sqrt{\langle U|x\rangle|U|x\rangle} = \sqrt{\langle \underbrace{(U^*)^T}_{U^{-1}}U|x\rangle||x\rangle} = \sqrt{\langle x|x\rangle} = |x|$

Beispiel: Hadamard-Walsh-Matrix $W_2 = \begin{pmatrix} \frac{1}{\sqrt{2}} & \frac{1}{\sqrt{2}} \\ \frac{1}{\sqrt{2}} & -\frac{1}{\sqrt{2}} \end{pmatrix}$

Übung: $W_2(W_2^*)^T = I$

Anmerkung: W_2 Beschreibt "Quanten-Münzwurf"

3.2 Entwicklung eines Quantenbits

Sei $|0\rangle = (1, 0)^T, |1\rangle = (0, 1)^T, U = \begin{pmatrix} a & c \\ b & d \end{pmatrix}$
 $\begin{pmatrix} a & c \\ b & d \end{pmatrix} \cdot \begin{pmatrix} 1 \\ 0 \end{pmatrix} = \begin{pmatrix} a \\ b \end{pmatrix} = a \begin{pmatrix} 1 \\ 0 \end{pmatrix} + b \begin{pmatrix} 0 \\ 1 \end{pmatrix}$, d.h. $|0\rangle \xrightarrow{U} a|0\rangle + b|1\rangle$
 $\begin{pmatrix} a & c \\ b & d \end{pmatrix} \cdot \begin{pmatrix} 0 \\ 1 \end{pmatrix} = \begin{pmatrix} c \\ d \end{pmatrix} = c \begin{pmatrix} 1 \\ 0 \end{pmatrix} + d \begin{pmatrix} 0 \\ 1 \end{pmatrix}$, d.h. $|1\rangle \xrightarrow{U} c|0\rangle + d|1\rangle$

3.3 Beispiele unitärer Abbildungen

Beispiel 1 (Quanten-Not): $M_{\neg} = \begin{pmatrix} 0 & 1 \\ 1 & 0 \end{pmatrix}$

M_{\neg} ist unitär, $(M_{\neg}^*)^T = M_{\neg}, M_{\neg}^2 = \begin{pmatrix} 0 & 1 \\ 0 & 1 \end{pmatrix} \cdot \begin{pmatrix} 0 & 1 \\ 0 & 1 \end{pmatrix} = \begin{pmatrix} 1 & 0 \\ 0 & 1 \end{pmatrix}$.

$(1, 0) \mapsto (0, 1)$ d.h. $|0\rangle \mapsto |1\rangle$
 $(0, 1) \mapsto (1, 0)$ $|1\rangle \mapsto |0\rangle$

Beispiel 2 (Wurzel des Not): $\sqrt{M_{\neg}} = \begin{pmatrix} \frac{1+i}{2} & \frac{1-i}{2} \\ \frac{1-i}{2} & \frac{1+i}{2} \end{pmatrix}$

$$\begin{aligned} |0\rangle &\xrightarrow{\sqrt{M_{\neg}}} \frac{1+i}{2}|0\rangle + \frac{1-i}{2}|1\rangle \xrightarrow{\sqrt{M_{\neg}}} \frac{1+i}{2} \left(\frac{1+i}{2}|0\rangle + \frac{1-i}{2}|1\rangle \right) + \frac{1-i}{2} \left(\frac{1-i}{2}|0\rangle + \frac{1+i}{2}|1\rangle \right) \\ &= \left(\left(\frac{1+i}{2} \right)^2 + \left(\frac{1-i}{2} \right)^2 \right) |0\rangle + 2 \frac{1-i^2}{4} |1\rangle \\ &= \frac{1+2i+i^2+1-2i+i^2}{4} |0\rangle + \frac{4}{4} |1\rangle = |1\rangle \end{aligned}$$

Äquivalent $|1\rangle \xrightarrow{\sqrt{M_{\neg}}} \frac{1-i}{2}|0\rangle + \frac{1+i}{2}|1\rangle \xrightarrow{\sqrt{M_{\neg}}} |0\rangle$ wegen $|\frac{1+i}{2}|^2 = |\frac{1-i}{2}|^2 = \frac{1}{4} + \frac{1}{4} = \frac{1}{2}$

Übung: $\sqrt{M_{\neg}}$ ist unitär, $(\sqrt{M_{\neg}})^2 = M_{\neg}$.

Beispiel 3 (Hadamard-Walsh Matrix) $W_2 = \frac{1}{\sqrt{2}} \begin{pmatrix} 1 & 1 \\ 1 & -1 \end{pmatrix}$

$$\begin{aligned} |0\rangle &\xrightarrow{W_2} \frac{1}{\sqrt{2}}|0\rangle + \frac{1}{\sqrt{2}}|1\rangle \xrightarrow{W_2} \frac{1}{\sqrt{2}} \left(\frac{1}{\sqrt{2}}|0\rangle + \frac{1}{\sqrt{2}}|1\rangle \right) + \frac{1}{\sqrt{2}} \left(\frac{1}{\sqrt{2}}|0\rangle - \frac{1}{\sqrt{2}}|1\rangle \right) \\ &= \left(\frac{1}{2} + \frac{1}{2} \right) |0\rangle + \left(\frac{1}{2} - \frac{1}{2} \right) |1\rangle = |0\rangle \end{aligned}$$

Beispiel 4 (Flip) $F = \begin{pmatrix} 1 & 0 \\ 0 & -1 \end{pmatrix}$

$|0\rangle \mapsto |0\rangle, |1\rangle \mapsto -|1\rangle$

Allgemein: $F_{\Theta} = \begin{pmatrix} 1 & 0 \\ 0 & e^{i\Theta} \end{pmatrix}$

$|0\rangle \mapsto |0\rangle, |1\rangle \mapsto e^{i\Theta}|1\rangle$, Man beachte: $F_{\pi} = F$

Definition (Äquivalenz von Zuständen) Zwei Zustände $|x\rangle, |y\rangle \in \mathbb{C}^n$ heißen genau dann äquivalent, wenn gilt: $|x\rangle = e^{i\Theta}|y\rangle$
 Flip transformiert $|1\rangle$ in einen äquivalenten Zustand. Messung von $|1\rangle$ mit selber Ws .

Übung: $U = \begin{pmatrix} i \cos \Theta & -i \sin \Theta \\ i \sin \Theta & i \cos \Theta \end{pmatrix}$ ist unitär

Der Zustand eines 2-Qbit-Systems ist ein Einheitsvektor im \mathbb{C}^4

4 Exkurs über Tensorprodukte

Definition (Tensorprodukt) Seien $|x\rangle = (x_1, \dots, x_n) \in \mathbb{C}^n, |y\rangle = (y_1, \dots, y_m) \in \mathbb{C}^m$. Das Tensorprodukt von $|x\rangle$ und $|y\rangle$ ist definiert als:

$$|x\rangle \otimes |y\rangle = (x_1 y_1, x_1 y_2, \dots, x_1 y_m, x_2 y_1, \dots, x_2 y_m, \dots, x_n y_1, \dots, x_n y_m) \in \mathbb{C}^{nm}$$

Beispiel: • $|0\rangle = (1, 0)^T, |1\rangle = (0, 1)^T$

$$|0\rangle \otimes |1\rangle = (0, 1, 0, 0)^T$$

• $|x\rangle = \frac{1}{\sqrt{2}}(1, -1)^T, |y\rangle = \frac{1}{\sqrt{2}}(1, 1)^T$

$$|x\rangle \otimes |y\rangle = \frac{1}{2}(1, 1, -1, -1)^T$$

Man beobachte: $|x\rangle \otimes |y\rangle \neq |y\rangle \otimes |x\rangle$

4.1 Rechenregeln für das Tensorprodukt

- Distributivität:

$$\forall |x\rangle \in \mathbb{C}^n, |y\rangle, |z\rangle \in \mathbb{C}^m, |x\rangle \otimes (|y\rangle + |z\rangle) = |x\rangle \otimes |y\rangle + |x\rangle \otimes |z\rangle$$

$$\forall |x\rangle, |y\rangle \in \mathbb{C}^n, |z\rangle \in \mathbb{C}^m, (|x\rangle + |y\rangle) \otimes |z\rangle = |x\rangle \otimes |z\rangle + |y\rangle \otimes |z\rangle$$

- Skalare Multiplikation:

$$\forall |x\rangle \in \mathbb{C}^n, |y\rangle \in \mathbb{C}^m, c \in \mathbb{C} : (c|x\rangle) \otimes |y\rangle = c(|x\rangle \otimes |y\rangle) = |x\rangle \otimes (c|y\rangle)$$

- Skalarprodukt:

$$\forall |v\rangle, |x\rangle \in \mathbb{C}^n, |y\rangle, |z\rangle \in \mathbb{C}^m, \langle |v\rangle \otimes |y\rangle | |x\rangle \otimes |z\rangle \rangle = \langle |v\rangle | |x\rangle \rangle \cdot \langle |y\rangle | |z\rangle \rangle$$

- Norm des Tensorprodukts:

$$\forall |x\rangle \in \mathbb{C}^n, |y\rangle \in \mathbb{C}^m : \||x\rangle \otimes |y\rangle\|^2 = \||x\rangle\|^2 \cdot \||y\rangle\|^2$$

Lemma: Sei $|x_1\rangle, \dots, |x_n\rangle \in \mathbb{C}^n$ eine orthonormale Basis des \mathbb{C}^n und $|y_1\rangle, \dots, |y_m\rangle \in \mathbb{C}^m$ eine orthonormale Basis des \mathbb{C}^m . Dann ist

$|x_1\rangle \otimes |y_1\rangle, |x_1\rangle \otimes |y_2\rangle, \dots, |x_1\rangle \otimes |y_m\rangle, |x_2\rangle \otimes |y_1\rangle, \dots, |x_n\rangle \otimes |y_m\rangle \in \mathbb{C}^{nm}$ eine orthonormale Basis des \mathbb{C}^{nm}

Beweis: Für $|x_i\rangle, |y_j\rangle$ gilt:

$$\||x_i\rangle \otimes |y_j\rangle\| = \||x_i\rangle\| \cdot \||y_j\rangle\| = 1 \cdot 1 = 1$$

Weiterhin sind die Vektoren paarweise orthogonal:

$$\langle |x_i\rangle \otimes |y_j\rangle | |x_k\rangle \otimes |y_l\rangle \rangle = \langle |x_i\rangle | |x_k\rangle \rangle \cdot \langle |y_j\rangle | |y_l\rangle \rangle = 0 \quad \forall i \neq k \text{ oder } j \neq l.$$

Beispiel:

$$|0\rangle = (1, 0)^T, |1\rangle = (0, 1)^T$$

$$|x\rangle = \frac{1}{\sqrt{2}}(1, -1)^T, |y\rangle = \frac{1}{\sqrt{2}}(1, 1)^T$$

$$|0\rangle \otimes |0\rangle = (1, 0, 0, 0)^T$$

$$|x\rangle \otimes |x\rangle = \frac{1}{2}(1, -1, -1, 1)^T$$

$$|0\rangle \otimes |1\rangle = (0, 1, 0, 0)^T$$

$$|x\rangle \otimes |y\rangle = \frac{1}{2}(1, 1, -1, -1)^T$$

$$|1\rangle \otimes |0\rangle = (0, 0, 1, 0)^T$$

$$|y\rangle \otimes |x\rangle = \frac{1}{2}(1, -1, 1, -1)^T$$

$$|1\rangle \otimes |1\rangle = (0, 0, 0, 1)^T$$

$$|y\rangle \otimes |y\rangle = \frac{1}{2}(1, 1, 1, 1)^T$$

Notation: Seien $|x\rangle \in \mathbb{C}^n, |y\rangle \in \mathbb{C}^m$. Wir bezeichnen $|x\rangle \otimes |y\rangle$ abkürzend als $|xy\rangle$.

Insbesondere gilt: $|0\rangle \otimes |0\rangle = |00\rangle, |0\rangle \otimes |1\rangle = |01\rangle$, usw.

5 2-Quantum Register

Bezeichne $|00\rangle = (1, 0, 0, 0)^T$, $|01\rangle = (0, 1, 0, 0)^T$, $|10\rangle = (0, 0, 1, 0)^T$, $|11\rangle = (0, 0, 0, 1)^T$ eine orthonormale Basis des \mathbb{C}^4 .

5.1 Zustand eines 2-Qubit Systems

Ein Zustand eines 2-Qubit Systems ist ein Einheitsvektor

$|v\rangle = c_0|00\rangle + c_1|10\rangle + c_2|10\rangle + c_3|11\rangle \in \mathbb{C}^4$ mit $c_0, c_1, c_2, c_3 \in \mathbb{C}$

Es gilt: $|v\rangle$ ist ein Einheitsvektor $\Leftrightarrow |c_0|^2 + |c_1|^2 + |c_2|^2 + |c_3|^2 = 1$

D.h. die Amplitudenquadrate liefern eine Ws-Verteilung.

Messung eines 2-Qubit Systems: Messung von $|v\rangle$ liefert:

- Basiszustand $|00\rangle$ mit Ws. $|c_0|^2$
- Basiszustand $|01\rangle$ mit Ws. $|c_1|^2$
- Basiszustand $|10\rangle$ mit Ws. $|c_2|^2$
- Basiszustand $|11\rangle$ mit Ws. $|c_3|^2$

Nach Messung befindet sich das 2-Qubit System im gemessenen Basiszustand. (Kollaps der Wellenfunktion, irreversibel)

Messung eines einzelnen Qubits eines 2-Qubit Systems: Messung des 1. Qubits von $|1\rangle$ liefert:

- $|0\rangle$ mit Ws. $|c_0|^2 + |c_1|^2$
- $|1\rangle$ mit Ws. $|c_2|^2 + |c_3|^2$

Nach der Messung befindet sich das System im Zustand:

- $\frac{c_0|00\rangle + c_1|01\rangle}{\sqrt{|c_0|^2 + |c_1|^2}}$ falls $|0\rangle$ im ersten Qubit gemessen wurde
- $\frac{c_2|10\rangle + c_3|11\rangle}{\sqrt{|c_2|^2 + |c_3|^2}}$ falls $|1\rangle$ im ersten Qubit gemessen wurde

Man beachte: $\left| \frac{c_0|00\rangle + c_1|01\rangle}{\sqrt{|c_0|^2 + |c_1|^2}} \right| = \frac{1}{\sqrt{|c_0|^2 + |c_1|^2}} \cdot |c_0|00\rangle + c_1|01\rangle = \frac{1}{\sqrt{|c_0|^2 + |c_1|^2}} \cdot \sqrt{|c_0|^2 + |c_1|^2} = 1$

D.h. der neue Zustand ist wieder ein Einheitsvektor im \mathbb{C}^4

5.2 Separabel/Verschränkt

Definition: Wir nennen den Zustand $|z\rangle \in \mathbb{C}^4$ eines 2-Qubit Systems separabel, falls $|z\rangle = |x\rangle \otimes |y\rangle$ für $|x\rangle, |y\rangle \in \mathbb{C}^2$.

Ein Zustand, der nicht separabel ist, heißt verschränkt.

Beispiel (separabler Zustand): $|z\rangle = \frac{1}{2}(|00\rangle + |01\rangle + |10\rangle + |11\rangle)$ ist separabel

Gesucht: $\alpha_0, \alpha_1, \beta_0, \beta_1 \in \mathbb{C}$ mit $|z\rangle = (\alpha_0|0\rangle + \alpha_1|1\rangle) \otimes (\beta_0|0\rangle + \beta_1|1\rangle) = \alpha_0\beta_0|00\rangle + \alpha_0\beta_1|01\rangle + \alpha_1\beta_0|10\rangle + \alpha_1\beta_1|11\rangle$.

$$\text{Gleichungssystem } \begin{cases} \alpha_0\beta_0 = \frac{1}{2} \\ \alpha_0\beta_1 = \frac{1}{2} \\ \alpha_1\beta_0 = \frac{1}{2} \\ \alpha_1\beta_1 = \frac{1}{2} \end{cases} \text{ erfüllt für } \alpha_0 = \beta_0 = \alpha_1 = \beta_1 = \frac{1}{\sqrt{2}} \text{ (ebenso z.B. für } -\frac{1}{\sqrt{2}}).$$

Frage: Wie groß ist die Ws., $|0\rangle$ im 1. Qubit zu messen?

$$|z\rangle = \alpha_0\beta_0|00\rangle + \alpha_0\beta_1|01\rangle + \alpha_1\beta_0|10\rangle + \alpha_1\beta_1|11\rangle$$

Messung von $|0\rangle$ im 1. Qubit mit Ws.: $|\alpha_0\beta_0|^2 + |\alpha_0\beta_1|^2 = |\alpha_0|^2 \underbrace{(|\beta_0|^2 + |\beta_1|^2)}_{=1} = |\alpha_0|^2$

$$\text{Nach Messung von } |0\rangle \text{ befindet sich das 2-Qubit System im Zustand } \frac{\alpha_0\beta_0|00\rangle + \alpha_0\beta_1|01\rangle}{\sqrt{|\alpha_0\beta_0|^2 + |\alpha_0\beta_1|^2}} = \frac{\alpha_0|0\rangle \otimes (\beta_0|0\rangle + \beta_1|1\rangle)}{\sqrt{|\alpha_0|^2 \underbrace{(|\beta_0|^2 + |\beta_1|^2)}_{=1}}} = \underbrace{\frac{\alpha_0}{\sqrt{|\alpha_0|^2}}|0\rangle}_{\text{äquivalent zu } |0\rangle} \otimes (\beta_0|0\rangle + \beta_1|1\rangle)$$

- Analog:**
- Mit Ws. $|\alpha_1|^2$ Messung $|1\rangle$ im 1. Qubit. Nach messung: $|1\rangle \otimes (\beta_0|0\rangle + \beta_1|1\rangle)$
 - Mit Ws. $|\beta_0|^2$ Messung $|0\rangle$ im 2. Qubit. Nach messung: $(\alpha_0|0\rangle + \alpha_1|1\rangle) \otimes \beta_0|0\rangle$
 - Mit Ws. $|\beta_1|^2$ Messung $|1\rangle$ im 2. Qubit. Nach messung: $(\alpha_0|0\rangle + \alpha_1|1\rangle) \otimes \beta_1|1\rangle$

Man beachte: Bei separablen 2-Qubit Systemen können die einzelnen Qubits unabhängig voneinander betrachtet werden.

Beispiel (verschränkter Zustand): $|z\rangle = \frac{1}{\sqrt{2}}(|00\rangle + |11\rangle)$

Schreibe $|z\rangle = (\alpha_0|0\rangle + \alpha_1|1\rangle) \otimes (\beta_0|0\rangle + \beta_1|1\rangle)$

$$\Rightarrow \text{Gleichungssystem} \begin{cases} \alpha_0\beta_0 = \frac{1}{\sqrt{2}} & \Rightarrow \alpha_0 \neq 0 \wedge \beta_0 \neq 0 \\ \alpha_0\beta_1 = 0 & \Rightarrow \alpha_1 = 0 \vee \beta_0 = 0 \\ \alpha_1\beta_0 = 0 & \Rightarrow \alpha_1 = 0 \vee \beta_0 = 0 \\ \alpha_1\beta_1 = \frac{1}{\sqrt{2}} & \Rightarrow \alpha_1 \neq 0 \wedge \beta_1 \neq 0 \end{cases} \not\Leftarrow \text{nicht erfüllbar.}$$

Bezeichnung (EPR Paar): Ein 2-Qubit System im Zustand $\frac{1}{\sqrt{2}}(|00\rangle + |11\rangle)$ wird als EPR-Paar (Einstein, Podolsky, Rosen) bezeichnet.

Messung des 1. Qubits eines EPR-Paars liefert: $|0\rangle$ mit Ws. $\frac{1}{2}$, nachher im Zustand

$$\frac{\frac{1}{\sqrt{2}}|00\rangle}{\frac{1}{\sqrt{2}}} = |00\rangle.$$

D.h. aber: Messung des 2. Qubits liefert ebenfalls Null! (Qubits sind abhängig).

Fakt: 2-Qubit Systeme entwickeln sich gemäß unitärer Abbildung $U \in \mathbb{C}^{4 \times 4}$

Beispiel (CNOT): $M_{\text{CNOT}} = \begin{pmatrix} 1 & 0 & 0 & 0 \\ 0 & 1 & 0 & 0 \\ 0 & 0 & 0 & 1 \\ 0 & 0 & 1 & 0 \end{pmatrix} \begin{array}{l} |00\rangle \mapsto |00\rangle \\ |01\rangle \mapsto |01\rangle \\ |10\rangle \mapsto |11\rangle \\ |11\rangle \mapsto |10\rangle \end{array}$

Controlled-Not: Das zweite Bit wird genau dann invertiert, wenn das 1. Bit (Kontrollbit) gesetzt ist. Man überprüfe, dass $M_{\text{CNOT}} \cdot (M_{\text{CNOT}}^*)^T = I_2$

Definition: $U \in \mathbb{C}^{m \times m}$ heißt Permutationsmatrix $\Leftrightarrow U$ in jeder Zeile und Spalte genau eine Eins und sonst Nullen erhält.

Beispiel: M_{CNOT} ist Permutationsmatrix.

Übung: Permutationsmatrizen sind unitär.

Bez.: Eine unitäre Abbildung, die nur auf einen Teil der Qubits agiert, heißt lokal unitär.

Sei $|z\rangle = (c_0|00\rangle + c_2|10\rangle + c_3|11\rangle)$ ein 2-Qubit und $A, B \in \mathbb{C}^{2 \times 2}$ unitär.

$c_0(A|0\rangle \otimes B|0\rangle) + c_1(A|0\rangle + B|1\rangle) + c_2(A|1\rangle + B|0\rangle) + c_3(A|1\rangle + B|1\rangle)$ heißt Anwendung von A auf das 1. Qubit und Anwendung von B auf das 2. Qubit.

Spezialfälle:

- $B = I_2$ liefert eine lokal unitäre Abb. auf dem 1. Qubit
- $A = I_2$ liefert eine lokal unitäre Abb. auf dem 2. Qubit

5.3 Tensorprodukt bzw. Kroneker-Produkt von Matrizen

Definition: Seien

$$A = \begin{pmatrix} a_{11} & \cdots & a_{1m} \\ \vdots & \ddots & \vdots \\ a_{m1} & \cdots & a_{mm} \end{pmatrix} \in \mathbb{C}^{m \times m}, B = \begin{pmatrix} b_{11} & \cdots & b_{1n} \\ \vdots & \ddots & \vdots \\ b_{n1} & \cdots & b_{nn} \end{pmatrix} \in \mathbb{C}^{n \times n}$$

Dann ist das Tensorprodukt von A und B definiert als:

$$A \otimes B = \begin{pmatrix} a_{11}B & \cdots & a_{1m}B \\ \vdots & \ddots & \vdots \\ a_{m1}B & \cdots & a_{mm}B \end{pmatrix} \in \mathbb{C}^{mn \times mn}$$

Beispiel:

$$A = \begin{pmatrix} a_{11} & a_{12} \\ a_{21} & a_{22} \end{pmatrix}, B = \begin{pmatrix} b_{11} & b_{12} \\ b_{21} & b_{22} \end{pmatrix}, A \otimes B = \begin{pmatrix} a_{11}b_{11} & a_{11}b_{12} & a_{12}b_{11} & a_{12}b_{12} \\ a_{11}b_{21} & a_{11}b_{22} & a_{12}b_{21} & a_{12}b_{22} \\ a_{21}b_{11} & a_{21}b_{12} & a_{22}b_{11} & a_{22}b_{12} \\ a_{21}b_{21} & a_{21}b_{22} & a_{22}b_{21} & a_{22}b_{22} \end{pmatrix}$$

Satz: Seien $A, B \in \mathbb{C}^{2 \times 2}$ unitär. Ferner sei $|z\rangle \in \mathbb{C}^4$ ein 2-Qubit System. Die Anwendung von A auf das 1. Qubit und B auf das 2. Qubit wird beschrieben durch: $(A \otimes B)|z\rangle$

Beweis: Für $|00\rangle$, andere Basiszustände folgen analog:

$$\begin{aligned} (A \otimes B)|00\rangle &= a_{11}b_{11}|00\rangle + a_{11}b_{21}|01\rangle + a_{21}b_{11}|10\rangle + a_{21}b_{21}|11\rangle \\ &= a_{11}|0\rangle \otimes (b_{11}|0\rangle + b_{21}|1\rangle) + a_{21}|1\rangle \otimes (b_{11}|0\rangle + b_{21}|1\rangle) \\ &= (a_{11}|0\rangle + a_{21}|1\rangle) \otimes (b_{11}|0\rangle + b_{21}|1\rangle) \\ &= A|0\rangle \otimes B|0\rangle \end{aligned}$$

Aus der Linearität von $A \otimes B$ folgt: Gilt obige Identität für alle Basiszustände, so gilt sie auch für alle Linearkombinationen von Basiszuständen.

\Rightarrow Identität gilt für beliebiges $|z\rangle \in \mathbb{C}^4$

Man beachte: Lokal unitäre Abb. auf separablen Zuständen $|z\rangle = |x\rangle \otimes |y\rangle$ liefert stets einen separablen Zustand: $|z\rangle \xrightarrow{A \otimes B} A|x\rangle \otimes B|y\rangle$.

D.h. lokal unitäre Operationen allein können keine Verschränkung erzeugen.

Beispiel 1: Anwendung von W_2 auf das 1. Qubit: $W_2 \otimes I_2$

$$\begin{aligned} W_2 &= \frac{1}{\sqrt{2}} \begin{pmatrix} 1 & 1 \\ 1 & -1 \end{pmatrix}, I_2 = \begin{pmatrix} 1 & 0 \\ 0 & 1 \end{pmatrix} \\ W_2 \otimes I_2 &= \frac{1}{\sqrt{2}} \begin{pmatrix} 1 & 0 & 1 & 0 \\ 0 & 1 & 0 & 1 \\ 1 & 0 & -1 & 0 \\ 0 & 1 & 0 & -1 \end{pmatrix} \quad |00\rangle \mapsto \frac{1}{\sqrt{2}}(|00\rangle + |10\rangle) = \underbrace{\frac{1}{\sqrt{2}}(|0\rangle + |1\rangle)}_{W_2} \otimes |0\rangle \end{aligned}$$

Beispiel 2: $W_4 = W_2 \otimes W_2$

$$W_4 = \frac{1}{\sqrt{2}} \begin{pmatrix} 1 & 1 & 1 & 1 \\ 1 & -1 & 1 & -1 \\ 1 & 1 & -1 & -1 \\ 1 & -1 & -1 & 1 \end{pmatrix}$$

Zustandsübergang für Basiszustand $|x_0x_1\rangle, x_0, x_1 \in \{0, 1\}$:

$$\begin{aligned} W_4|x_0x_1\rangle &= \frac{1}{2}(|00\rangle + (-1)^{x_1}|01\rangle + (-1)^{x_0}|10\rangle + (-1)^{x_0+x_1}|11\rangle) \\ &= \underbrace{\frac{1}{\sqrt{2}}(|0\rangle + (-1)^{x_0}|1\rangle)}_{W_2|x_0\rangle} \otimes \underbrace{\frac{1}{\sqrt{2}}(|0\rangle + (-1)^{x_1}|1\rangle)}_{W_2|x_1\rangle} \end{aligned}$$

Wissen bereits: Nicht jeder 2-Qubit Zustand ist Tensorprodukt zweier 1-Qubit Zustände. Analog gilt:

Satz: Nicht jede unitäre Abb. $U \in \mathbb{C}^{4 \times 4}$ ist Tensorprodukt unitärer Matrizen $A, B \in \mathbb{C}^{2 \times 2}$

Beweis: M_{CNOT} ist unitär.

Annahme: M_{CNOT} sei Tensorprodukt zweier unitärer Abbildungen, d.h. $M_{\text{CNOT}} = A \otimes B$.

Beachte: $|00\rangle \xrightarrow{W_2 \otimes I_2} \frac{1}{\sqrt{2}}(|00\rangle + |10\rangle) \xrightarrow{A \otimes B} \frac{1}{\sqrt{2}}(|00\rangle + |11\rangle)$.

D.h. wir erhalten ein verschränktes EPR-Paar durch lokal unitäre Abbildungen auf dem separablen Zustand $|00\rangle$. ζ 5.3

5.4 No-Cloning Theorem

Definition (Quanten-Kopiermaschine): Sei $|x\rangle \in \mathbb{C}^2$ ein Qubit. Eine Quanten-Kopiermaschine ist eine unitäre Abbildung U mit: $U(|z\rangle \otimes |x\rangle) = |z\rangle \otimes |z\rangle$ für alle Qubits $|z\rangle \in \mathbb{C}^2$

Satz (No-Cloning Theorem): Es gibt keine Quantenkopiermaschine.

Beweis: Annahme: Es gibt Quanten-Kopiermaschine U . Seien $|0\rangle, |1\rangle$ Basiszustände. Aufgrund der Kopiereigenschaft gilt: $U(W_2|0\rangle \otimes |1\rangle) = W_2|0\rangle \otimes W_2|0\rangle$ (ist separabel).
 Aufgrund der Linearität von U gilt aber ebenfalls:
 $U(W_2|0\rangle \otimes |1\rangle) = U(\frac{1}{\sqrt{2}}|01\rangle + \frac{1}{\sqrt{2}}|11\rangle) = \frac{1}{\sqrt{2}}(U|01\rangle + U|11\rangle) = \frac{1}{\sqrt{2}}(|00\rangle + |11\rangle)$ (ist verschränkt, (EPR-Paar)). ζ

Man beachte: $M_{\text{COPY}} = \begin{pmatrix} 1 & 0 & 0 & 0 \\ 0 & 1 & 0 & 0 \\ 0 & 0 & 0 & 1 \\ 0 & 0 & 1 & 0 \end{pmatrix}$ ist Kopiermaschine für Basiszustände $|0\rangle, |1\rangle$,

denn $|00\rangle \mapsto |00\rangle, |10\rangle \mapsto |11\rangle$.

Allerdings gilt $(\alpha_0|0\rangle + \alpha_1|1\rangle) \otimes |0\rangle \xrightarrow{M_{\text{COPY}}} \alpha_0|00\rangle + \alpha_1|11\rangle \neq (\alpha_0|0\rangle + \alpha_1|1\rangle)(\alpha_0|0\rangle + \alpha_1|1\rangle)$ für $\alpha_0, \alpha_1 \neq 0$.

6 n-Qubit Zustandssysteme (Register)

Sei $|0\rangle, |1\rangle$ eine orthonormale Basis des \mathbb{C}^2 .

Gemäß Basis-Lemma (4.1): $|0\rangle \otimes |0\rangle, |0\rangle \otimes |1\rangle, |1\rangle \otimes |0\rangle, |1\rangle \otimes |1\rangle$ ist orthonormale Basis des \mathbb{C}^4 . Erneute Anwendung des Lemmas liefert eine orthonormale Basis $|b_0 b_1 b_2\rangle, b_i \in \{0, 1\}$ des \mathbb{C}^8 .

Induktiv: $|b_0 \dots b_{n-1}\rangle, b_i \in \{0, 1\}$ ist orthonormale Basis des \mathbb{C}^{2^n} .

Definition: Ein n -Qubit System ist ein Einheitsvektor im \mathbb{C}^{2^n} der Form

$$|z\rangle = \sum_{x \in \{0,1\}^n} c_x |x\rangle \text{ mit } c_x \in \mathbb{C}, \sum_{x \in \{0,1\}^n} |c_x|^2 = 1.$$

Notation: Wir interpretieren $x = x_0 \dots x_{n-1}$ als Binärdarstellung der natürlichen Zahl $\sum_{i=0}^{n-1} x_i 2^{n-1-i}$.

Damit schreiben wir auch $|z\rangle = \sum_{i=0}^{2^n-1} c_i |i\rangle$.

Zustandsübergang: • n -Qubit Systeme entwickelt sich gemäß unitärer Abb. $U : \mathbb{C}^{2^n} \rightarrow \mathbb{C}^{2^n}$

- Lokal unitäre Abbildungen operieren auf einzelnen Qubits des Systems.

Beobachtung: • n Qubits werden durch 2^n Amplituden beschrieben.

- Unitäre Matrizen $U \in \mathbb{C}^{2^n \otimes 2^n}$ haben Beschränkungsgröße 2^{2n} .

D.h. die Beschreibungsgröße ist exponentiell in der physikalischen Größe n .

Feynman: "Quantenrechner sollten nicht effizient auf klassischen Rechnern simulierbar sein."

Definition (Separabilität): Ein n -Qubit $|z\rangle \in \mathbb{C}^{2^n}$ heißt separabel gdw. $|z\rangle = |x_1\rangle \otimes |x_2\rangle \otimes \dots \otimes |x_n\rangle$ für $|x_i\rangle \in \mathbb{C}^2$.

Nicht separable Zustände heißen verschränkt.

Beispiel: $|z\rangle = \frac{1}{\sqrt{3}}(|000\rangle - |001\rangle - |111\rangle)$ ist verschränkt.

Messung des 1. Qubits: $|0\rangle$ mit $W s \frac{2}{3}$
 $|0\rangle$ mit $W s \frac{1}{3}$

Falls:

- $|0\rangle$ gemessen: Zustand $\frac{\frac{1}{\sqrt{3}}(|000\rangle - |001\rangle)}{\sqrt{\frac{2}{3}}} = \frac{1}{\sqrt{2}}(|000\rangle - |001\rangle)$
- $|1\rangle$ gemessen: Zustand $\frac{\frac{1}{\sqrt{3}}|111\rangle}{\sqrt{\frac{1}{3}}} = |111\rangle$.

7 Quanten-Protokolle

7.1 Quantenteleportation

Szenario: • Alice besitzt Qubit $|z\rangle = c_0|0\rangle + c_1|1\rangle$. Amplituden c_0, c_1 sind Alice unbekannt.

- Alice kann über klassischen Kanal mit Bob kommunizieren (d.h. Bits, keine Qubits)

- Alice und Bob teilen sich EPR-Paar $\frac{1}{\sqrt{2}}(|00\rangle + |11\rangle)$; 1. Bit ist Alices, 2. Bit gehört Bob.

Ziel: Alice sendet $|z\rangle$ an Bob.

Probleme: • Alice kennt Amplituden nicht.

- Messung zerstört Wellenfunktion.
- Alice kann keine Kopien von $|z\rangle$ erzeugen, um Amplituden durch hinreichend viele Messungen zu approximieren. Würde auch nur $|c_0|^2, |c_1|^2$ liefern, nicht c_0, c_1 .
- Gibt es einen Algorithmus zur Rekonstruktion von Quantenbits aus klassischer Information, so existiert ein Quanten-Kopierer. \nexists (No-Cloning-Theorem (5.4))

Lösung: Nutze Verschränkung zur Übertragung.

Zusammengesetzter Zustand von $|z\rangle$ und $|e\rangle = \frac{1}{\sqrt{2}}(|00\rangle + |11\rangle)$:

$$\begin{aligned} |z\rangle \otimes |e\rangle &= (c_0|0\rangle + c_1|1\rangle) \otimes \frac{1}{\sqrt{2}}(|00\rangle + |11\rangle) \\ &= \frac{1}{\sqrt{2}}(c_0|000\rangle + c_0|011\rangle + c_1|100\rangle + c_1|111\rangle) \end{aligned}$$

Man beachte: Alice hat Zugriff auf die ersten beiden Qubits, Bob auf das 3. Qubit.

Protokoll für die Teleportation von $|z\rangle$:

1. Alice wendet CNOT auf das 2. Qubit mit dem 1. Qubit als Kontrollbit an:
 $|ze\rangle \xrightarrow{\text{CNOT}} \frac{1}{\sqrt{2}}(c_0|000\rangle + c_0|011\rangle + c_1|110\rangle + c_1|101\rangle)$
2. Alice wendet nun auf das 1. Qubit die Hadamard-Walsh Transformation W_2 an:
 $\frac{1}{\sqrt{2}}(\frac{c_0}{\sqrt{2}}(|0\rangle + |1\rangle)|00\rangle + \frac{c_0}{\sqrt{2}}(|0\rangle + |1\rangle)|11\rangle + \frac{c_1}{\sqrt{2}}(|0\rangle - |1\rangle)|10\rangle + \frac{c_1}{\sqrt{2}}(|0\rangle - |1\rangle)|01\rangle)$
 $= \frac{1}{2}(c_0|000\rangle + c_0|100\rangle + c_0|011\rangle + c_0|111\rangle + c_1|010\rangle - c_1|110\rangle + c_1|001\rangle - c_1|101\rangle)$
 $= \frac{1}{2}(|00\rangle(c_0|0\rangle + c_1|1\rangle) + |01\rangle(c_0|1\rangle + c_1|0\rangle) + |10\rangle(c_0|0\rangle - c_1|1\rangle) + |11\rangle(c_0|1\rangle - c_1|0\rangle))$
3. Alice misst die ersten beiden Qubits. Sie erhält jeweils mit $W s_{\frac{1}{4}}$:

Qubit	Zustand nach Messung
$ 00\rangle$	$ 00\rangle(c_0 0\rangle + c_1 1\rangle)$
$ 01\rangle$	$ 01\rangle(c_0 1\rangle + c_1 0\rangle)$
$ 10\rangle$	$ 10\rangle(c_0 0\rangle - c_1 1\rangle)$
$ 11\rangle$	$ 11\rangle(c_0 1\rangle - c_1 0\rangle)$

Alice sendet Messergebnis 00, 01, 10 oder 11 an Bob.

4. Abhängig von Messergebnis führt Bob folgende Operation aus:
Für $|00\rangle$: Bobs Qubit ist bereits im gewünschten Zustand.
 $|01\rangle$ NOT Operation $c_0|1\rangle + c_1|0\rangle \xrightarrow{\text{NOT}} c_0|0\rangle + c_1|1\rangle$
 $|10\rangle$ Flip Operation: $c_0|0\rangle - c_1|1\rangle \xrightarrow{\text{Flip}} c_0|0\rangle + c_1|1\rangle$
 $|11\rangle$ Flip \circ NOT $c_0|1\rangle - c_1|0\rangle \xrightarrow{\text{Flip} \circ \text{NOT}} c_0|0\rangle + c_1|1\rangle$

Beobachtung: • Alices Zustand $|z\rangle$ wird übertragen, nicht kopiert.

- Es wird nur der Zustand übertragen, kein physikalisches Qubit
- Bob benötigt Alices Messung, um $|z\rangle$ zu erhalten.

7.2 Superdense Coding (Bennet, Wiesner 1992)

Szenario: • Alice und Bob teilen sich ein EPR-Paar $\frac{1}{\sqrt{2}}(|00\rangle + |11\rangle)$

- Alice & Bob besitzen einen Quantenkanal zum Übertragen von Qubits.

Ziel: übertrage zwei klassische Bits b_0, b_1 mit Hilfe eines einzelnen Qubits.

Protokoll Superdense Coding:

1. Abhängig von b_0, b_1 berechnet Alice:

Falls $b_0 = 1$: Flip auf 1. Qubit

Falls $b_1 = 1$: NOT auf 1. Qubit

b_0	b_1	Zustand
0	0	$\frac{1}{\sqrt{2}}(00\rangle + 11\rangle)$
0	1	$\frac{1}{\sqrt{2}}(10\rangle + 01\rangle)$
1	0	$\frac{1}{\sqrt{2}}(00\rangle - 11\rangle)$
1	1	$\frac{1}{\sqrt{2}}(10\rangle - 01\rangle)$

Alice sendet $|z\rangle$ an Bob.

2. Bob wendet die folgende unitäre Matrix U auf $|z\rangle$ an.

$$U = \frac{1}{\sqrt{2}} \begin{pmatrix} 1 & 0 & 0 & 1 \\ 0 & 1 & 1 & 0 \\ 1 & 0 & 0 & -1 \\ 0 & -1 & 1 & 0 \end{pmatrix}$$

$$\frac{1}{\sqrt{2}}(|00\rangle + |11\rangle) \xrightarrow{U} \frac{1}{2}(|00\rangle + |10\rangle + |00\rangle - |10\rangle) = |00\rangle \text{ Interpretation: } (b_0, b_1) = (0, 0)$$

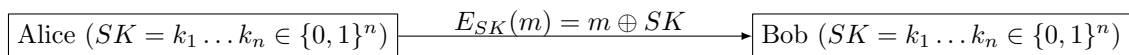
$$\frac{1}{\sqrt{2}}(|10\rangle + |01\rangle) \xrightarrow{U} \frac{1}{2}(|00\rangle + |10\rangle - |00\rangle + |10\rangle) = |01\rangle \text{ Interpretation: } (b_0, b_1) = (0, 1)$$

$$\frac{1}{\sqrt{2}}(|00\rangle - |11\rangle) \xrightarrow{U} \frac{1}{2}(|00\rangle + |10\rangle - |00\rangle + |10\rangle) = |10\rangle \text{ Interpretation: } (b_0, b_1) = (1, 0)$$

$$\frac{1}{\sqrt{2}}(|10\rangle - |01\rangle) \xrightarrow{U} \frac{1}{2}(-|01\rangle + |11\rangle + |01\rangle + |11\rangle) = |11\rangle \text{ Interpretation: } (b_0, b_1) = (1, 1)$$

7.3 Quanten Schlüsselaustausch

One-Time Pad für n -Bit Nachricht $m = m_1 m_2 \dots m_n \in \{0, 1\}^n$



$$D_{SK}(E_{SK}(m)) = E_{sk}(m) \oplus SK = m \oplus SK \oplus SK = m$$

Szenario: • Alice und Bob besitzen Quantenkanal

- Alice und Bob besitzen authentisierten klassischen Kanal
- Kanäle werden belauscht und manipuliert durch Eve.

Ziel: Austausch von n klassischen Bits, so dass

- Eve durch Belauschen keine Information erhält
- Manipulation von Eve entdeckt wird

Einfache Lösung: falls Alice und Bob n EPR-Paare $\frac{1}{\sqrt{2}}(|00\rangle + |11\rangle)$ teilen:

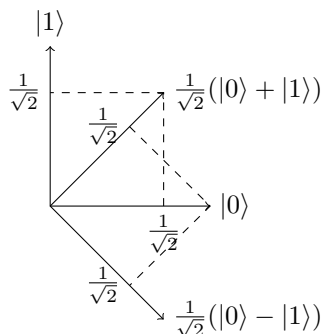
Messen in derselben Basis $|0\rangle, |1\rangle$ liefert n identische Zufallsbits.

Definition(Z und X-Basis): Wir nennen $|0\rangle, |1\rangle$ die Z-Basis des \mathbb{C}^2

Die Basis $\frac{1}{\sqrt{2}}(|0\rangle + |1\rangle), \frac{1}{\sqrt{2}}(|0\rangle - |1\rangle)$, die durch Anwendung von W_2 auf die Basisvektoren der Z-Basis entsteht, bezeichnen wir als X-Basis.

Beobachtung: • Messung von $\frac{1}{\sqrt{2}}(|0\rangle \pm |1\rangle)$ in Z-Basis liefert $|0\rangle, |1\rangle$ jeweils mit $Ws. \frac{1}{2}$.

- Messung von $|0\rangle$ oder $|1\rangle$ in X-Basis liefert $\frac{1}{\sqrt{2}}(|0\rangle \pm |1\rangle)$ jeweils mit $Ws. \frac{1}{2}$.



Idee: Kodiere Bit $a \in \{0, 1\}$ entweder in der X-Basis oder in der Z-Basis.

Kodierungstabelle:	Bit a	Basis b	Zustand $ z_{ab}\rangle$, 0 = Z-Basis, 1 = X-Basis
	0	0	$ z_{00}\rangle = 0\rangle$	
	1	0	$ z_{10}\rangle = 1\rangle$	
	0	1	$ z_{01}\rangle = \frac{1}{\sqrt{2}}(0\rangle + 1\rangle)$	
	1	1	$ z_{11}\rangle = \frac{1}{\sqrt{2}}(0\rangle - 1\rangle)$	

7.3.1 BB84-Protokoll (Bennet-Brassard)

1. Alice wählt zufällige $4n$ -Bit Strings $a = a_1 \dots a_{4n}, b = b_1 \dots b_{4n} \in \{0, 1\}^{4n}$.
Alice sendet $4n$ Qubits $|z_{a_i b_i}\rangle, i = 1 \dots 4n$ an Bob
2. Bob wählt einen zufälligen Bitstring $b' = b'_1 \dots b'_{4n} \in \{0, 1\}$.
Falls $b_i = 0$ Messe $|z_{a_i b_i}\rangle$ zur Z-Basis. Falls $|0\rangle$, setze $a'_i = 0$, sonst $a'_i = 1$
Falls $b_i = 1$ Messe $|z_{a_i b_i}\rangle$ zur X-Basis. Falls $\frac{1}{\sqrt{2}}(|0\rangle + |1\rangle)$, setze $a'_i = 0$, sonst $a'_i = 1$
Bob erklärt, dass er gemessen hat.
3. Alice gibt die Basen b_1, \dots, b_{4n} bekannt. Für $b_i \neq b'_i$ wird das i -te Bit a_i verworfen.
Im Erwartungswert bleiben $2n$ Bits übrig.
4. Alice und Bob vergleichen von den $2n$ übrigen Bits n zufällig gewählte Testbits. Stimmen nicht alle Testbits überein, Abbruch (Manipulationsversuch von Eve). Sonst bilden die restlichen n Bits den geheimen Schlüssel SK.

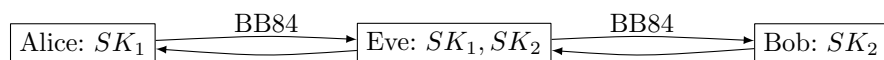
Korrektheit: Falls keine Manipulation der Qubits vorliegt, gilt $Ws(a_i = a'_i | b_i = b'_i) = 1$, denn Bob misst Basiszustand in der korrekt gewählten Basis.

Sicherheit: Eve erhält nur dann das i -te Bit, falls sie $|z_{a_i b_i}\rangle$ misst.

1. **Fall:** Eve misst zur korrekten Basis mit Ws. $\frac{1}{2}$. In diesem Fall sendet sie $|z_{a_i b_i}\rangle$ an Bob und kennt a_i .
2. **Fall:** Eve misst zur inkorrekten Basis \bar{b}_i mit Ws. $\frac{1}{2}$.
Sie sendet $|z_{\bar{a}_i \bar{b}_i}\rangle$ an Bob, wobei $\bar{a}_i \in_R \{0, 1\}$. Misst Bob in Basis b_i , so erhält er a'_i mit $Ws(a'_i = a_i) = \frac{1}{2}$.
D.h. wird das i -te Bit für die Menge der Testbits ausgewählt, erfolgt Abbruch mit Ws. $\frac{1}{2}$.

Damit ist nicht schwer zu zeigen, dass Eves Erfolgswahrscheinlichkeit, unbemerkt k bits zu ermitteln exponentiell klein in k ist.

- Beobachtungen:**
- Eve kann Denial-of-Service Angriff durchführen, d.h. Abbruch erzwingen.
 - Bei nicht-authentisiertem Kanal kann Eve Man-in-the-Middle Angriff durchführen.



7.3.2 BB92-Protokoll (Bennet)

Führe die folgenden Schritte durch, bis n Bits ausgetauscht wurden:

1. Alice wählt ein Zufallsbit $a \in_R \{0, 1\}$ und sendet: $|z\rangle = \begin{cases} |0\rangle & \text{falls } a = 0 \\ \frac{1}{\sqrt{2}}(|0\rangle + |1\rangle) & \text{falls } a = 1 \end{cases}$
2. Bob wählt $a' \in_R \{0, 1\}$. Bob misst $|z\rangle$ in der
 - Z-Basis für $a' = 0$: Falls Ergebnis $|0\rangle$, setze $b = 0$, sonst setze $b = 1$.
 - X-Basis für $a' = 1$: Falls Ergebnis $\frac{1}{\sqrt{2}}(|0\rangle + |1\rangle)$, setze $b = 0$, sonst setze $b = 1$.
 Bob sendet b an Alice
3. Falls $b = 0$: Zurück zu Schritt 1.
Falls $b = 1$: Schlüsselbit ist a für Alice, $1 - a'$ für Bob

In jedem Durchlauf wird ein Schlüsselbit generiert gdw. $b = 1$ gilt.

Satz: $\text{Ws.}(b = 1) = \frac{1}{4}$

Beweis: Es gilt

$$\text{Ws.}(b = 1) = \text{Ws.}(b = 1|a = a') \cdot \text{Ws.}(a = a') + \text{Ws.}(b = 1|a \neq a') \cdot \text{Ws.}(a \neq a') = 0 \cdot \frac{1}{2} + \frac{1}{2} \cdot \frac{1}{2} = \frac{1}{4}.$$

Denn im Fall $a = a'$ misst Bob stets den von Alice gesendeten Basiszustand ($b = 0$), im Fall $a \neq a'$ misst Bob einen anderen Zustand mit $\text{Ws.} \frac{1}{2}$

D.h also, dass wir im Erwartungswert $4n$ Protokolldurchläufe benötigen, bis n Schlüsselbits generiert sind. Es bleibt zu zeigen, dass die erzeugten Schlüsselbits korrekt sind, d.h $a = 1 - a'$.

Satz: $\text{Ws.}(a = 1 - a'|b = 1) = 1$

Beweis: Es gilt $\text{Ws.}(a = 1 - a'|b = 1) = \text{Ws.}(b = 1) \cdot \text{Ws.}(a = 1 - a'|b = 1) = \text{Ws.}(b = 1|a = 1 - a') \cdot \text{Ws.}(a = 1 - a')$

$$\Rightarrow \text{Ws.}(a = 1 - a'|b = 1) = \frac{\text{Ws.}(b=1|a=1-a') \cdot \text{Ws.}(a=1-a')}{\text{Ws.}(b=1)} = \frac{\frac{1}{2} \cdot \frac{1}{2}}{\frac{1}{4}} = 1$$

D.h. falls $b = 1$, so müssen a und a' verschiedene Bits sein. Damit erhalten Alice und Bob dasselbe Bit $a = 1 - a'$

8 Boolesche Schaltkreise, Schaltkreiskomplexitäten

Ziel: Berechne Boolesche Funktion $f_n : \mathbb{F}_2^n \rightarrow \mathbb{F}_2^m, n \in \mathbb{N}$

Beispiel: Und $\wedge : \mathbb{F}_2^2 \rightarrow \mathbb{F}_2, (x_1, x_2) \mapsto x_1 \wedge x_2 = x_1 x_2$ bzw. $\mathbb{F}_2^2 \rightarrow \mathbb{F}_2,$
 $(x_1, \dots, x_n) \mapsto ((x_1 \wedge x_2) \wedge x_3) \dots x_n$

Oder $\vee : \mathbb{F}_2^2 \rightarrow \mathbb{F}_2, (x_1, x_2) \mapsto x_1 \vee x_2 = x_1 + x_2 + x_1 x_2$ bzw. $\mathbb{F}_2^n \rightarrow \mathbb{F}_2,$
 $(x_1, \dots, x_n) \mapsto ((x_1 \vee x_2) \vee x_3) \dots x_n$

Nicht $\neg : \mathbb{F}_2 \rightarrow \mathbb{F}_2, x \mapsto 1 - x$ Schreibweise auch: \bar{x}

Kopierfunktion $c : \mathbb{F}_2 \rightarrow \mathbb{F}_2^2, x \mapsto (x, x)$

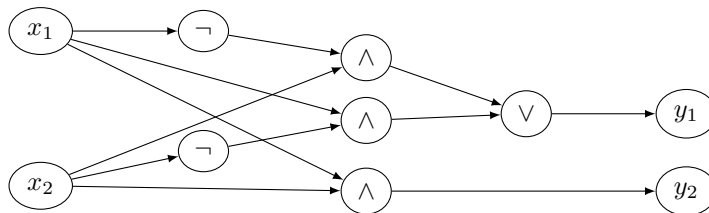
Entscheiden von Sprachen $L : X_L : \mathbb{F}_2^n \rightarrow \mathbb{F}_2, X_L(\omega) = \begin{cases} 1 & \text{falls } \omega \in L \\ 0 & \text{sonst} \end{cases}$

Definition (Boolescher Schaltkreis): Sei S eine Menge von Booleschen Funktionen, die eine konstante Anzahl von Eingabebits auf eine konstante Anzahl von Ausgabebits abbildet (z.B. $S = \{\wedge, \vee, \neg\}$)
 Ein Boolescher Schaltkreis über S ist ein azyklischer, gerichteter Graph $G = (V, E)$ mit:

- Die Knoten V sind gelabelt mit Eingabe-/Ausgabebits oder Elementen aus S .
- Eingabeknoten haben Eingrad 0. Ausgabeknoten haben Eingrad 1, Ausgrad 0.
- Knoten mit Label $s \in S, s : \mathbb{F}_2^n \rightarrow \mathbb{F}_2^m$ haben Eingrad n und Ausgrad m .
- Die Komplexität des Booleschen Schaltkreises ist definiert als $|V| + |E|$ (Bezüglich S).

Beispiel: Addierer $f(x_1, x_2) = (y_1, y_2)$ mit $y_1 = x_1 \oplus x_2, y_2$ Übertrag

x_1	x_2	y_1	y_2
0	0	0	0
0	1	1	0
1	0	1	0
1	1	0	1



Komplexität bezüglich $\{\wedge, \vee, \neg\} : |V| + |E| = 10 + 12 = 22$

$$y_1 = (\overline{x_1} \wedge x_2) \vee (x_1 \wedge \overline{x_2})$$

$$y_2 = x_1 \wedge x_2$$

8.1 Universelle Mengen

Definition (universell): Sei S eine Menge von Booleschen Funktionen, die eine konstante Anzahl von Bits auf eine Konstante Anzahl von Bits abbilden. S ist universell, falls jede Boolesche Funktion $\mathbb{F}_2^n \rightarrow \mathbb{F}_2$ durch Verknüpfung von Elementen aus S realisiert werden kann.

Übung: Sei S universell. Dann kann jede Funktion $f : \mathbb{F}_2^n \rightarrow \mathbb{F}_2^m$ mittels S realisiert werden.

Satz: $S_U = \{\wedge, \neg, c\}$ ist eine universelle Menge.

Beweis: Wir definieren die Funktion $M_a, a = (a_1, \dots, a_n) \in \mathbb{F}_2^n$. Vermöge $M_a(x_1, \dots, x_n) = \varphi_1(x_1) \wedge$

$$\varphi_2(x_2) \wedge \dots \wedge \varphi_n(x_n) \text{ für } \varphi_i(x_i) = \begin{cases} x_i & \text{für } a_i = 1 \\ \overline{x_i} & \text{für } a_i = 0 \end{cases}$$

D.h. M_a ist die charakteristische Funktion $M_a(x_1, \dots, x_n) = \begin{cases} 1 & \text{falls } x = a \\ 0 & \text{sonst} \end{cases}$

Sei $T = \{a \in \mathbb{F}_2^n \mid f(a) = 1\}$. Dann gilt $f = \bigvee_{a \in T} M_a(x_1, \dots, x_n) = \neg(\bigwedge_{a \in T} \neg M_a(x_1, \dots, x_n))$.

D.h. wir können f als \neg, \wedge -Verknüpfung von Kopien von (x_1, \dots, x_n) darstellen.

Beispiel (oberer Addierer): Für Ausgabebit y_1 gilt:

$$T = \{(0, 1), (1, 0)\} \Rightarrow y_1 = \bigvee_{a \in T} M_a(x_1, x_2) = (\overline{x_1} \wedge x_2) \vee (x_1 \wedge \overline{x_2}) = \neg(\neg((\overline{x_1} \wedge x_2) \vee (x_1 \wedge \overline{x_2})))$$

$$= \neg(\overline{(\overline{x_1} \wedge x_2) \wedge (x_1 \wedge \overline{x_2})})$$

Beobachtung: Seien S_1, S_2 Mengen von booleschen Funktionen und S_1 universell.

Falls jedes $s \in S_1$ durch eine Verknüpfung aus S_2 darstellbar ist, dann ist S_2 universell.

Seien $\text{nand}(x_1, x_2) = \overline{x_1 \wedge x_2}$.

Satz: $S = \{\text{nand}, c\}$ ist universell

Beweis: Wir stellen \neg und \wedge als Verknüpfung durch nand-Funktionen dar.

$\neg : \text{nand}(x, x) = \overline{x \wedge x} = \overline{x}$ (Anwendung von c , um x zu duplizieren)

$\wedge : \text{nand}(\text{nand}(x_1, x_2), \text{nand}(x_1, x_2)) = \text{nand}(\overline{x_1 \wedge x_2}, \overline{x_1 \wedge x_2}) = x_1 \wedge x_2$.

8.2 Uniforme / nicht-Uniforme Schaltkreisfamilien

Bezeichnung Wir bezeichnen mit C_n Schaltkreise mit n Eingabeknoten.

Wir nennen $C = \{C_n\}_{n \in \mathbb{N}}$ eine Schaltkreisfamilie.

Definition: Eine boolesche Funktion $f_n, n \in \mathbb{N}$ hat nicht-uniforme Schaltkreiskomplexität $\mathcal{O}(g(n))$ bzgl. einer universellen Menge S , falls es eine Schaltkreisfamilie $\{C_n\}_{n \in \mathbb{N}}$ über S mit Komplexität $\mathcal{O}(g(n))$ gibt, die f_n berechnet.

Beobachtung Nach 8.1 können alle Funktionen $\mathbb{F}_2^n \rightarrow \mathbb{F}_2$ mittels einer nicht-uniformen Schaltkreisfamilie $C = \{C_n\}_{n \in \mathbb{N}}$ berechnet werden.

Insbesondere existiert C mit: $C_n = \begin{cases} 1 & \text{falls DTM } M_n \text{ auf Eingabe } M_n \text{ hält} \\ 0 & \text{sonst} \end{cases}$

D.h. C_n entscheidet das im Turingmaschinen-Modell nicht entscheidbare Halteproblem.

Problem: Konstruktion von C_n erfordert die Kenntnis der Funktionswerte der f_n .

Definition (uniformes Modell): Eine Schaltkreisfamilie $\{C_n\}_{n \in \mathbb{N}}$ heißt uniform, falls es eine DTM gibt, die für alle $n \in \mathbb{N}$ bei Eingabe 1^n in Zeit und Platz $\text{poly}(n)$ C_n ausgibt. Eine boolesche Funktion $f_n, n \in \mathbb{N}$ hat uniforme Schaltkreiskomplexität $\mathcal{O}(g(n))$, falls es eine uniforme Schaltkreisfamilie $\{C_n\}_{n \in \mathbb{N}}$ gibt, die f_n berechnet.

8.3 Die Klasse \mathcal{P}

Bezeichnung: $\text{poly}(n) = \mathcal{O}(n^c)$ für konstantes c .

Definition (\mathcal{P}): Die Klasse \mathcal{P} besteht aus allen booleschen Funktionen $f_n, n \in \mathbb{N}$ mit uniformer Schaltkreiskomplexität $\text{poly}(n)$

Beispiel: $f_n = \bigwedge_{i=1}^n x_i$ hat uniforme Schaltkreiskomplexität $\mathcal{O}(n)$ bezüglich $S_u = \{\wedge, \neg, c\}$.

$f_n = \bigvee_{i=1}^n x_i$ hat uniforme Schaltkreiskomplexität $\mathcal{O}(n)$ bezüglich $S_u = \{\wedge, \neg, c\}$.

8.4 Die Klasse \mathcal{BPP}

Definition (\mathcal{BPP}): Die Klasse \mathcal{BPP} besteht aus allen booleschen Funktionen $f_n, n \in \mathbb{N}$, für die es eine uniforme Schaltkreisfamilie $\{C_n\}_{n \in \mathbb{N}}$ gibt mit:

- C_n hat Größe $\text{poly}(n)$
- $\exists m \in \text{poly}(n) : y \in_R \mathbb{F}_2^m \forall x \in \mathbb{F}_2^n : \text{Ws. } y(C(x, y) = f_n(x)) \geq \frac{2}{3}$

Beispiel: Sei x eine n -bit Zahl, $f_n(x) = \begin{cases} 1 & \text{falls } x \text{ prim} \\ 0 & \text{sonst} \end{cases}$

Miller-Rabin Test liefert uniforme Schaltkreisfamilie mit $\text{Ws. } (C(x, y) = f_n(x)) \geq \frac{3}{4}$

8.5 Die Klasse \mathcal{NP}

Definition (\mathcal{NP}): Die Klasse \mathcal{NP} besteht aus allen booleschen Funktionen $f_n, n \in \mathbb{N}, \mathbb{F}_2^n \rightarrow \mathbb{F}_2$, für die es eine uniforme Schaltkreisfamilie $\{C_n\}_{n \in \mathbb{N}}$ gibt mit:

- C_n hat Größe $\text{poly}(n)$
- $\exists m \in \text{poly}(n) \forall x \in \mathbb{F}_2^n : f_n(x) = 1 \Leftrightarrow \exists y \in \mathbb{F}_2^m : C(x, y) = 1$

Beispiel: $f_n = X_{\text{SAT}}(\langle \phi \rangle) = \begin{cases} 1 & \text{falls } \langle \phi \rangle \in \text{SAT} \\ 0 & \text{sonst} \end{cases}$

$X_{\text{SAT}} \in \mathcal{NP}$, denn für jedes $\langle \phi \rangle \in \text{SAT}$ mit m Variablen gibt es eine erfüllbare Belegung $y \in \mathbb{F}_2^m$. Der Schaltkreis C_n wertet ϕ mit Belegung y aus.

9 Quantenschaltkreiskomplexitäten

9.1 Reversible Schaltkreise

Definition (Reversibel): Sei $f : \mathbb{F}_2^n \rightarrow \mathbb{F}_2^m$ eine beliebige boolesche Funktion.

Die reversible Einbettung U_f von f ist definiert als $U_f : \mathbb{F}_2^{n+m} \rightarrow \mathbb{F}_2^{n+m}, (x, y) \mapsto (x, f(x) + y)$

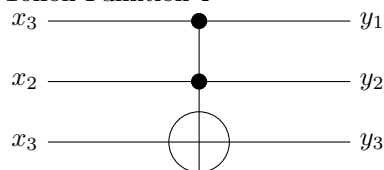
Beachte: $U_f(U_f(x, y)) = U_f(x, f(x) + y) = (x, f(x) + f(x) + y) = (x, y)$, d.h. U_f ist Permutation.

Wir bezeichnen Permutationen auch als reversible Funktion. Sie werden durch Permutationsmatrizen beschrieben.

Beispiel: $\wedge : \mathbb{F}_2^2 \rightarrow \mathbb{F}_2, (x_1, x_2) \mapsto x_1 x_2$

$T = U_{\wedge} : \mathbb{F}_2^3 \rightarrow \mathbb{F}_2^3, (x_1, x_2, x_3) \mapsto (x_1, x_2, x_1 x_2 + x_3) = (x_1, x_2, x_1 \wedge x_2 \oplus x_3)$

Toffoli-Funktion T



NOT auf $x_3 \Leftrightarrow x_1 = x_2 = 1$

$I : \mathbb{F}_2 \rightarrow \mathbb{F}_2, x_1 \mapsto x_1$

$\text{CNOT} = U_I : \mathbb{F}_2^2 \rightarrow \mathbb{F}_2^2, (x_1, x_2) \mapsto (x_1, x_1 + x_2)$

Man beachte: $\text{CNOT}(x_1, 0) \mapsto (x_1, x_1)$ liefert Kopierfunktion c für $x_1 \in \mathbb{F}_2$

Definition (r-universell): sei R eine Menge von reversiblen booleschen Funktionen, die auf einer konstanten Anzahl von Bits operieren. R heißt **r-universell**, falls jede reversible Funktion als Verknüpfung von Elementen aus R , Hilfsvariablen und Konstanten $0, 1$ dargestellt werden kann.

Satz: $\{T\}$ ist r-universell.

Beweis: Da $S_u = \{\wedge, \neg, c\}$ universell ist, kann insbesondere jede reversible Funktion mittels S_u dargestellt werden. Es genügt daher, jedes Element als Verknüpfung von T , Hilfsvariablen und $0, 1$ zu schreiben. Rest: Übungsaufgabe.

9.2 Die Klassen \mathcal{QP} und \mathcal{BQP}

Definition (einbettbar): Seien $f : \mathbb{F}_2^n \rightarrow \mathbb{F}_2^m$ und $U_f : \mathbb{F}_2^{n+l} \rightarrow \mathbb{F}_2^{m+k}$ boolesche Funktionen. Wir nennen f **einbettbar** in U_f , falls es ein $h \in \mathbb{F}_2^l$ gibt mit $U_f(x, h) = (h', f(x))$ für ein $h' \in \mathbb{F}_2^k$.

Satz: Jede boolesche Funktion $f : \mathbb{F}_2^n \rightarrow \mathbb{F}_2^m$ ist in eine reversible Funktion $U_f : \mathbb{F}_2^{n+m} \rightarrow \mathbb{F}_2^{n+m}$ einbettbar.

Beweis: Verwende reversible Einbettung aus 9.1: $U_f(x, y) \mapsto (x, f(x) + y)$. Damit ist f in U_f eingebettet, denn $u_f(x, 0^m) = x(f(x))$, d.h. $h = 0^m$ und $h' = x$.

Reversible boolesche Schaltkreise bestehen ausschließlich aus Gattern, die reversible boolesche Funktionen realisieren. Wir betten nun boolesche Schaltkreise in reversible Schaltkreise ein.

Satz: Sei $C = \{C_n\}_{n \in \mathbb{N}}$ eine uniforme Schaltkreisfamilie über $S = \{\wedge, \neg\}$ der Größe $\mathcal{O}(g(n))$, die $f_n, n \in \mathbb{N}$ berechnet. Dann gibt es eine uniforme reversible Schaltkreisfamilie C_r über $\{T, 0, 1\}$ der Größe $\mathcal{O}(g(n))$, die $f_n^r : \mathbb{F}_2^{n+m+l} \rightarrow \mathbb{F}_2^{n+m+l}$ mit $(x, y, z \mapsto (x, f_n(x) + y, z'))$ berechnet. D.h. f_n und U_{f_n} sind in f_n^r eingebettet.

Beweis: Da C uniform ist, können wir für jedes n den Schaltkreis C_n auf einer DTM konstruieren. Wir ersetzen in C_n die

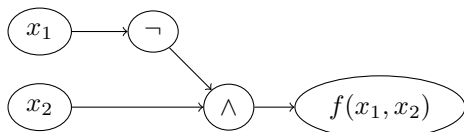
- \wedge -Gatter mit $T(x_1, x_2, 0) = (x_1, x_2, x_1x_2)$
- \neg -Gatter mit $T(x_1, 1, 1) = (x_1, 1, 1 - x_1)$

Dazu verwenden wir höchstens dreimal so viele Eingabeknoten/Ausgabeknoten wie in C_n . D.h. die Größe von C_r ist höchstens dreimal die Größe von C , d.h. die Größe von C_r ist $\mathcal{O}(g(n))$.

Beispiel:

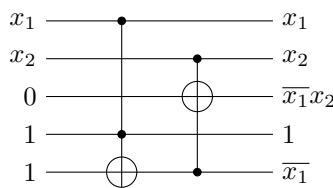
$$f(x_1, x_2) = \overline{x_1}x_2$$

$$U_f(x_1, x_2, 0) = (x_1, x_2, \overline{x_1}x_2)$$



$$f^r(x_1, x_2, 0, 1, 1) = (x_1, x_2, \overline{x_1}x_2, 1, \overline{x_1})$$

Einbettung von f und U_f



Definition (Quantenschaltkreis-Familie): Eine QC-Familie $Q = \{Q_n\}_{n \in \mathbb{N}}$ heißt uniform, falls es eine DTM gibt, die für jedes $n \in \mathbb{N}$ bei Eingabe 1^n in Zeit und Platz $\text{poly}(n)$ Q_n ausgibt. Eine boolesche Funktion $f_n, n \in \mathbb{N}$ hat uniforme Quanten-Schaltkreiskomplexität $\mathcal{O}(g(n))$ bezüglich S , falls es eine uniforme QC-Familie über S gibt, die f_n berechnet.

Definition (\mathcal{QP}): Die Klasse \mathcal{QP} ist die Klasse aller booleschen Funktionen $f_n, n \in \mathbb{N}$, für die es ein $g(n) \in \text{poly}(n)$ und eine uniforme QC-Familie $Q_{g(n)}$ bezüglich $S_2 = \{H, \text{CNOT}, T\}$ gibt mit:

- $Q_{g(n)}$ hat Größe $\text{poly}(n)$
- $Q_{g(n)}$ berechnet $f_n^r : \mathbb{F}_2^{g(n)} \rightarrow \mathbb{F}_2^{g(n)}$, wobei f_n in f_n^r eingebettet ist für alle $n \in \mathbb{N}$.

Satz: $\mathcal{P} \subseteq \mathcal{QP}$

Beweis: Sei $f_n \in \mathcal{P}$. Dann gibt es eine uniforme Schaltkreisfamilie C mit Größe $\text{poly}(n)$ die f_n berechnet.
 $\stackrel{9.2}{\Rightarrow} \exists$ uniforme reversible Schaltkreisfamilie C_r der Größe $\text{poly}(n)$, die f_n^r berechnet, so dass f_n in f_n^r eingebettet ist. C_r ist über $\{T, 0, 1\}$ definiert.
 Ersetzung der booleschen Gatter T durch unitäre Gatter, die T beschreiben, transformiert C_r in einen Quantenschaltkreis. Damit ist die Funktion $f_n \in \mathcal{QP}$.

Definition (\mathcal{BQP}): Die Klasse \mathcal{BQP} ist die Klasse aller booleschen Funktionen $f_n, n \in \mathbb{N}$, für die es ein $g(n) \in \text{poly}(n)$ und eine uniforme QC-Familie $Q_{g(n)}$ bezüglich $\{H, \text{CNOT}, T\}$ gibt mit:

- $Q_{g(n)}$ hat Größe $\text{poly}((n))$
- $\exists k \in \text{poly}(n) : y \in_R \mathbb{F}_2^k \forall x \in \mathbb{F}_2^n : \text{Ws.}_y(Q_{g(n)}(x, y) = f_n^r(x)) \geq \frac{2}{3}$, wobei f_n^r eine Einbettung von f_n ist.

Problem: Erzeugung zufälliger Eingaben $y \in \mathbb{F}_2^k$ mit QC.

Definition (H_k): Sei $x = |x_0 x_1 \dots x_{k-1}\rangle$. Dann ist $H_k|x\rangle = H_k|x_0 \dots x_{k-1}\rangle = H|x_0\rangle \otimes H|x_1\rangle \otimes \dots \otimes H|x_{k-1}\rangle$ die Hadamard-Abbildung auf ein k -Qubit-Register.

Satz: $H_k|x\rangle = \frac{1}{2^{k/2}} \sum_{y \in \{0,1\}^k} (-1)^{xy} |y\rangle$, wobei xy das innere Produkt von x, y ist.

Beweis: $k = 1, 2$: siehe 5.3, $k = 3$: siehe Übung. Beliebige k : induktiv.

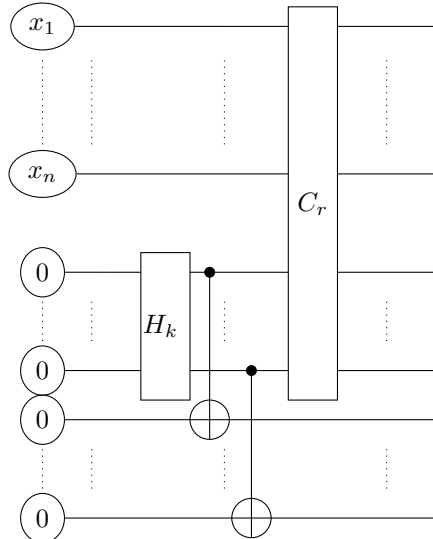
Korollar: $H_k|0^k\rangle = \frac{1}{2^{k/2}} \sum_{y \in \{0,1\}^k} |y\rangle$ liefert gleichmäßige Überlagerung der Basiszustände.

Satz: $\mathcal{BPP} \subseteq \mathcal{BQP}$

Beweis: Sei $f \in \mathcal{BPP}$ und C die Schaltkreisfamilie polynomieller Größe mit $\text{Ws.}_y(C(x, y) = f_n) \geq \frac{2}{3}$. Analog zum Beweis $\mathcal{P} \subseteq \mathcal{QP}$:

- Transformiere C in reversible Familie C_r über $\{T, 0, 1\}$ polynomieller Größe, die f_n^r berechnet.
- Transformiere C_r in QC-Familie Q durch Ersetzung von T durch seine unitäre Variante.

Wir verwenden $H_k|0^k\rangle$ zur Erzeugung von y :



$$|x0^{2k}\rangle \xrightarrow{H_k} \frac{1}{2^{k/2}} \sum_{y \in \{0,1\}^k} |xyy\rangle \xrightarrow{C_r} \frac{1}{2^{k/2}} \sum_{y \in \{0,1\}^k} C_r|x y\rangle \otimes |y\rangle$$

Aber $C_r|x y\rangle = f(x) \forall x$ und mindestens $\frac{2}{3}$ aller y .
 Messung der letzten k Qubits liefert $C_r|x y\rangle \otimes |y\rangle$ für jedes $y \in \{0, 1\}^k$ mit $\text{Ws.} \frac{1}{2^k}$. Messung der restlichen Qubits liefert $f(x)$ mit $\text{Ws.} \geq \frac{2}{3}$

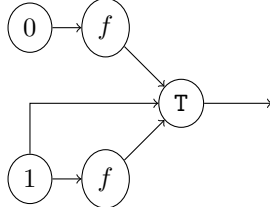
10 Quanten -schaltkreise und -algorithmen

10.1 Deutsch-Josza Problem

Gegeben: Gatter $f : \mathbb{F}_2 \rightarrow \mathbb{F}_2$

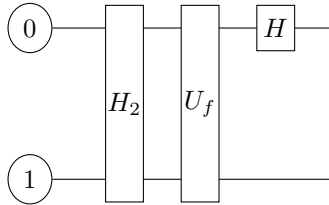
Gesucht: Schaltkreis, der entscheidet ob $f(0) = f(1)$ mit minimaler Anzahl von f -Gattern

Boolescher Schaltkreis C :



$C(0, 1) = T(f(0), 1, f(1)) = f(0) + f(1) \Rightarrow C(0, 1) = 0 \Leftrightarrow f(0) = f(1)$. Minimale Anzahl von f -Gattern für boolesche Schaltkreise, da $f(0)$ keine Information über $f(1)$ liefert.

Quantenschaltkreis Q :



$U_f|xy\rangle = |x\rangle \otimes |f(x)+y\rangle$ ist die reversible Einbettung von f . Beachte: Q verwendet nur ein f -Gatter!

Satz: Q entscheidet das Deutsch-Josza Problem.

Beweis:

$$\begin{aligned}
 |01\rangle &\xrightarrow{H_2=H\otimes H} \frac{1}{\sqrt{2}}(|0\rangle + |1\rangle) \otimes \frac{1}{\sqrt{2}}(|0\rangle - |1\rangle) \\
 &= \frac{1}{2}(|0\rangle \otimes (|0\rangle - |1\rangle) + |1\rangle \otimes (|0\rangle - |1\rangle)) \\
 &\xrightarrow{U_f} \frac{1}{2}(|0\rangle \otimes (|0 + f(0)\rangle - |1 + f(0)\rangle) + |1\rangle \otimes (|0 + f(1)\rangle - |1 + f(1)\rangle)) \\
 &= \frac{1}{2}(|0\rangle \otimes (-1)^{f(0)}(|0\rangle - |1\rangle) + |1\rangle \otimes (-1)^{f(1)}(|0\rangle - |1\rangle)) \\
 &= \frac{1}{2}(((-1)^{f(0)}|0\rangle + (-1)^{f(1)}|1\rangle) \otimes (|0\rangle - |1\rangle)) \\
 &\xrightarrow{H\otimes I} \frac{1}{2^{\frac{3}{2}}} (((-1)^{f(0)} + (-1)^{f(1)})|0\rangle + ((-1)^{f(0)} - (-1)^{f(1)})|1\rangle) \otimes (|0\rangle - |1\rangle)
 \end{aligned}$$

Für $f(0) = f(1)$: $(-1)^{f(0)} \frac{1}{\sqrt{2}}|0\rangle \otimes (|0\rangle - |1\rangle)$
 \Rightarrow Messung liefert 0 im 1. Qubit

Für $f(0) \neq f(1)$: $(-1)^{f(0)} \frac{1}{\sqrt{2}}|1\rangle \otimes (|0\rangle - |1\rangle)$
 \Rightarrow Messung liefert 1 im 1. Qubit.

D.h. die Messung des 1. Qubits entscheidet das Deutsch-Josza Problem.

Orakel-Modell: Information über $f : \mathbb{F}_2^n \rightarrow \mathbb{F}_2^n$ durch Auswerten von f .

10.2 Verallgemeinertes Deutsch-Josza Problem

Gegeben: $f : \mathbb{F}_2^n \rightarrow \mathbb{F}_2$ im Orakel-Modell

Promise-Problem: f ist entweder

- konstant, d.h. $f(x) = c \forall c \in \mathbb{F}_2, \forall x \in \mathbb{F}_2^n$
- balanciert, d.h. $f(x) = 0$ für genau die Hälfte aller $x \in \mathbb{F}_2^n$

Ziel: Entscheide, ob f konstant oder balanciert ist mit minimaler Zahl von f -Aufrufen.

Klassischer deterministischer Algorithmus:

1. Setze $c = f(0^n)$
2. FOR $i = 1$ TO 2^{n-1}
 - Falls $f(i) \neq c$, Ausgabe ‘‘balanciert’’ und EXIT.
3. Ausgabe: ‘‘Konstant’’

Anzahl f -Aufrufe $\leq 2^{n-1} + 1$ (genau $2^{n-1} + 1$ für konstante f)

Erfolgswahrscheinlichkeit: 1.

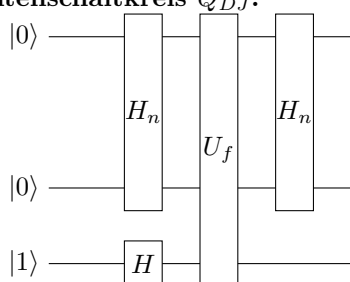
Probalistischer Algorithmus:

1. Setze $c = f(0^n)$
2. FOR $i=1$ zufällige Werte $x_j \in \{1, 2, \dots, 2^{n-1}\}$
 - Falls $f(x_i) \neq c$, Ausgabe ‘‘balanciert’’ und EXIT.
3. Ausgabe: ‘‘Konstant’’

Fehlerwahrscheinlichkeit: $\underbrace{\text{Ws. (Ausgabe ‘‘balanciert’’} | f \text{ konstant}) + \text{Ws. (Ausgabe ‘‘konstant’’} | f \text{ balanciert)}}_{=0}$

$$= \text{Ws. } (x_1 = x_2 = \dots = x_{i-1} = f(0) | f \text{ balanciert}) = \prod_{j=1}^{i-1} \frac{2^{n-1}-j}{2^n} \leq \left(\frac{1}{2}\right)^{i-1}$$

Quantenschaltkreis Q_{DJ} :



U_f ist reversible Einbettung von $f : \mathbb{F}_2^{n+1} \rightarrow \mathbb{F}_2^{n+1}, |xy\rangle \mapsto |x\rangle \otimes |f(x) + y\rangle$ für $x \in \mathbb{F}_2^n, y \in \mathbb{F}_2$.

Q_{DJ} besitzt nur ein U_f -Gatter und damit nur ein f -Gatter!

Satz: Q_{DJ} entscheidet das verallgemeinerte Deutsch-Josza Problem.

Beweis:

$$\begin{aligned} |0^n 1\rangle &\xrightarrow{H_n \otimes H} \frac{1}{2^{\frac{n}{2}}} \sum_{x \in \{0,1\}^n} |x\rangle \otimes \frac{1}{\sqrt{2}} (|0\rangle - |1\rangle) \\ &\xrightarrow{U_f} \frac{1}{2^{\frac{n+1}{2}}} \sum_{x \in \{0,1\}^n} |x\rangle (|0 + f(x)\rangle - |1 - f(x)\rangle) \\ &= \frac{1}{2^{\frac{n+1}{2}}} \sum_{x \in \{0,1\}^n} (-1)^{f(x)} |x\rangle \otimes (|0\rangle - |1\rangle) \\ &\xrightarrow{H_n} \frac{1}{2^{\frac{2n+1}{2}}} \sum_{x \in \{0,1\}^n} \sum_{y \in \{0,1\}^n} (-1)^{f(x)+xy} |y\rangle \otimes (|0\rangle - |1\rangle) = |z\rangle \end{aligned}$$

Lemma: $\sum_{x \in \{0,1\}^n} (-1)^{xy} = \begin{cases} 2^n & \text{für } y = 0^n \\ 0 & \text{sonst} \end{cases}$ Beweis: Übungsaufgabe.

1. Fall: f konstant: Für die ersten n Qubits von $|z\rangle$ gilt:

$$\begin{aligned} \frac{1}{2^{\frac{2n+1}{2}}} \sum_{y \in \{0,1\}^n} \sum_{x \in \{0,1\}^n} (-1)^{f(x)} (-1)^{xy} |y\rangle &= \frac{1}{2^{\frac{2n+1}{2}}} (-1)^{f(0^n)} (2^n |0^n\rangle) + \sum_{y \in \{0,1\}^n} \sum_{x \in \{0,1\}^n} (-1)^{xy} |y\rangle \\ \Rightarrow |z\rangle &= \frac{1}{\sqrt{2}} (-1)^{f(0^n)} |0^n\rangle \otimes (|0\rangle - |1\rangle) \end{aligned}$$

D.h für konstantes f liefert die Messung der ersten n Qubits 0^n .

2. Fall: f balanciert:
$$\sum_{y \in \{0,1\}^n} \sum_{x \in \{0,1\}^n} (-1)^{f(x)+xy} |y\rangle = \underbrace{\sum_{x \in \{0,1\}^n} (-1)^{f(x)} |0^n\rangle}_{=0} + \sum_{\substack{y \in \{0,1\}^n \\ y \neq 0^n}} \sum_{x \in \{0,1\}^n} (-1)^{f(x)+xy} |y\rangle$$

\Rightarrow Messung der ersten n Qubits von z liefert 0^n mit Ws. 0

Entscheiden des DJ-Problems durch Messung der ersten n Qubits von $|z\rangle$:

Falls 0^n , Ausgabe “ f konstant”

Sonst Ausgabe “ f balanciert”

Vergleich:

	f -Aufrufe	Ws.
Deterministisch	$2^{n-1} + 1$	1
Probabilistisch	3	$\geq \frac{3}{4}$
Quanten	1	1

10.3 Bernstein-Vazirani Problem (1983)

Gegeben: Funktion $f_a : \mathbb{F}_2^n \rightarrow \mathbb{F}_2, x \mapsto ax = \sum_{i=1}^n a_i x_i \pmod 2$ mit $a \in \{0,1\}^n$ im Orakel-Modell

Gesucht: $a \in \{0,1\}^n$ mit minimaler Anzahl von f -Aufrufen

Klassisch: Untere Schranke: Jeder Aufruf von f liefert 1 Bit an Information.

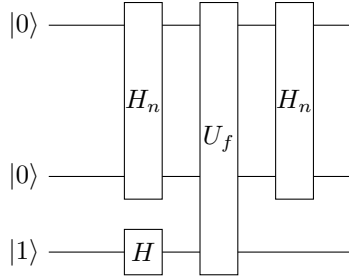
\Rightarrow Mindestens n Aufrufe von f zur Bestimmung von a notwendig.

Seien $e_i, i = 1 \dots n$ die Einheitsvektoren.

Optimaler klassischer Algorithmus:

- Werte f_a an $e_i, i = 1 \dots n$ aus und gib die entsprechenden a_i aus.

Quantenschaltkreis ($Q_{BV} = Q_{DJ}$):



U_f ist reversible Einbettung von f_a

Satz: Q_{BV} berechnet a mit einem Aufruf von f .

Beweis:

$$\begin{aligned} |0^n 1\rangle &\xrightarrow{H_n \otimes H} \frac{1}{2^{\frac{n+1}{2}}} \sum_{x \in \{0,1\}^n} |x\rangle \otimes (|0\rangle - |1\rangle) \\ &\xrightarrow{U_{f_a}} \frac{1}{2^{\frac{n+1}{2}}} \sum_{x \in \{0,1\}^n} (-1)^{f(x)} |x\rangle \otimes (|0\rangle - |1\rangle) \\ &\xrightarrow{H_n \otimes I_2} \frac{1}{2^{\frac{n+1}{2}}} \sum_{y \in \{0,1\}^n} \sum_{x \in \{0,1\}^n} (-1)^{xa} (-1)^{xy} |y\rangle \otimes (|0\rangle - |1\rangle) = |z\rangle \end{aligned}$$

Beobachtung:
$$\sum_{x \in \{0,1\}^n} (-1)^{x(y+a)} = \begin{cases} 2^n & \text{für } y + a = 0^n, \text{ d.h. } y = a \\ 0 & \text{sonst} \end{cases}$$

Messung der ersten n Qubits liefert a mit Wahrscheinlichkeit 1.

Für das Bernstein-Vazirani Problem liefern Quantenschaltkreise einen Speedup von n , d.h. einen polynomiellen Faktor.

10.4 Das Problem von Simon (1994):

Gegeben: Funktion $f : \mathbb{F}_2^n \rightarrow \mathbb{F}_2^m, m \geq n$ im Orakel-Modell

Promise-Problem: $\exists s \in \mathbb{F}_2^n : f(x) = f(y) \Leftrightarrow x = y + s$

D.h. insbesondere die Funktion f ist eine 2:1-Abbildung: Je zwei Urbilder x und $x + s$ werden auf dasselbe Bild abgebildet.

Gesucht: $s \in \mathbb{F}_2^n$

Klassischer Algorithmus: Werte verschiedene x_1, \dots, x_k aus, bis Kollision $f(x_i) = f(x_j)$ gefunden.

Ausgabe: $x_i + x_j$

Deterministisch: $k \leq 2^{n-1} + 1$ Auswertungen notwendig

Probabilistisch: Wie groß muss k gewählt werden, damit Kollision erwartet wird?

Definiere: $x_{ij} = \begin{cases} 1 & \text{falls } f(x_i) = f(x_j) \\ 0 & \text{sonst} \end{cases}$, $\text{Ws. } (x_{ij} = 1) = \frac{1}{2^{n-1}}$

$$E(\# \text{ Kollisionen}) = \sum_{1 \leq i < j \leq n} \text{Ws. } (x_{ij} = 1) = \binom{k}{2} \frac{1}{2^{n-1}} \approx \frac{k^2}{2^{n-1}}$$

Der Erwartungswert ist konstant für $k = \Omega(2^{\frac{n}{2}})$, d.h. k ist exponentiell in n .